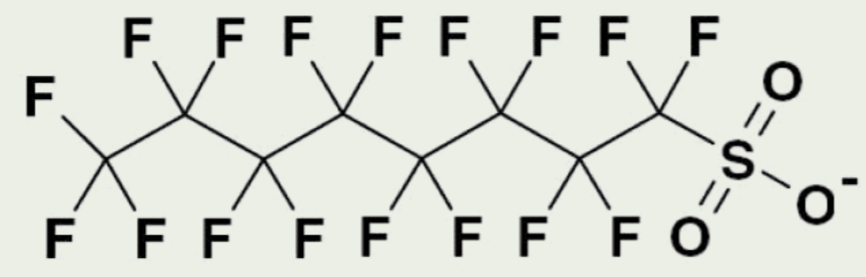


## Campagne prospective 2012 Cadre général et méthodologie



### ❖ Objectifs

- Mise à jour des listes de substances devant faire l'objet d'une surveillance
- Identification de "points chauds" de contamination / lien usages du sol
- Etude des facteurs de contrôle de la distribution eau/sédiment

### ❖ Stratégie d'échantillonnage

- DOM : 24 rivières + 1 plan d'eau
- France Métropolitaine : 115 rivières + 18 plans d'eau
- Phase dissoute : 3 campagnes / Sédiment : 1 campagne
- Classification des stations en 5 types de pressions : agricole, industriel, mauvais état écologique, référence, urbain

### ❖ Molécules ciblées

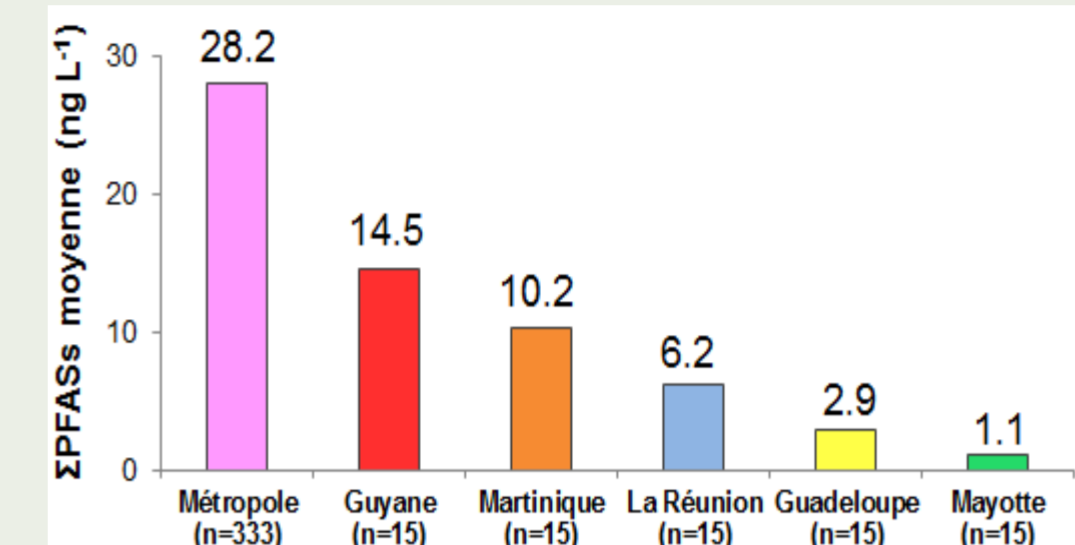
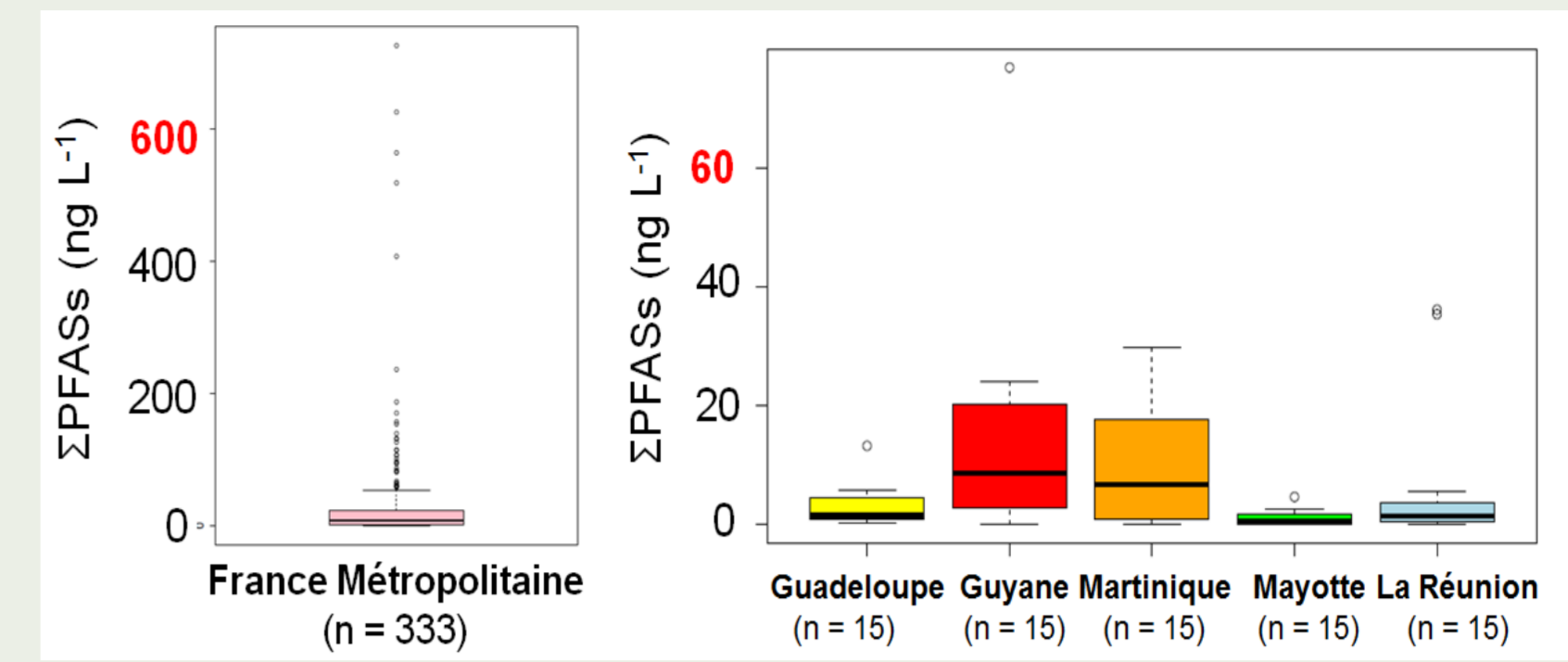
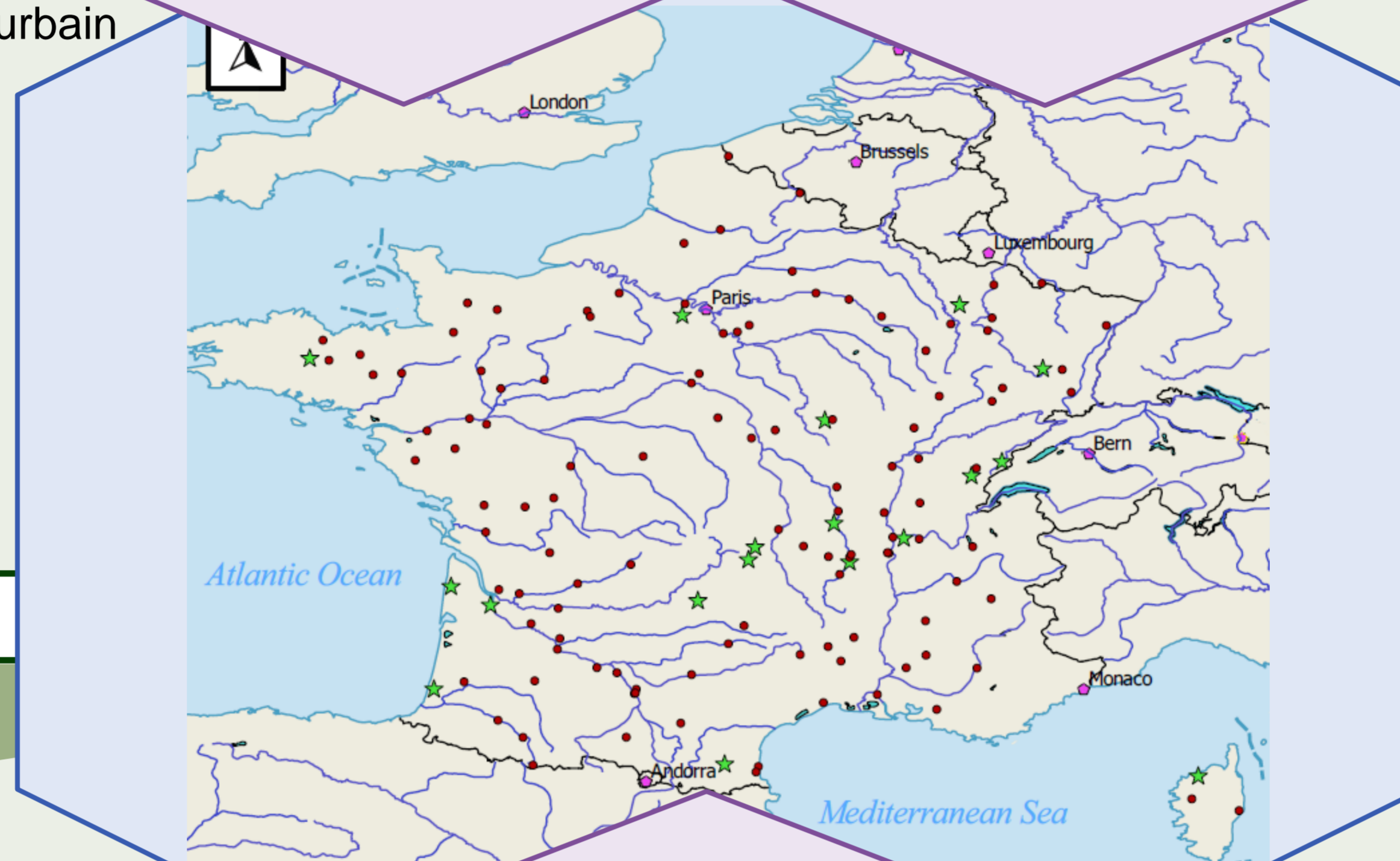
- 11 carboxylates, 5 Sulfonates, 6 précurseurs

### ❖ Extraction et analyse

- Phase dissoute (0.5 L) : filtration GF/F + SPE
- Sédiment (1g) : lyophilisation, Micro-ondes, graphite
- Analyse par LC-MS/MS (Agilent 6460)
- Quantification par dilution isotopique

**Dimension nationale :**  
 158 rivières et lacs  
 France Métropolitaine et  
 Départements d'Outre-Mer

**Information synthétisée :**  
 approche SIG et cartes  
 auto-organisatrices de  
 Kohonen



**Phase dissoute**  
 Métropole > DOM  
 (2x - 30x)

**Phase dissoute:** grande dispersion des valeurs, jusqu'à 725 ng L<sup>-1</sup> près de Melun (Seine-et-Marne)  
 Profil dominé par PFOS + composés à chaîne courte

**Sédiment:** concentrations entre < LOD et 25 ng g<sup>-1</sup>  
 Large prédominance du PFOS

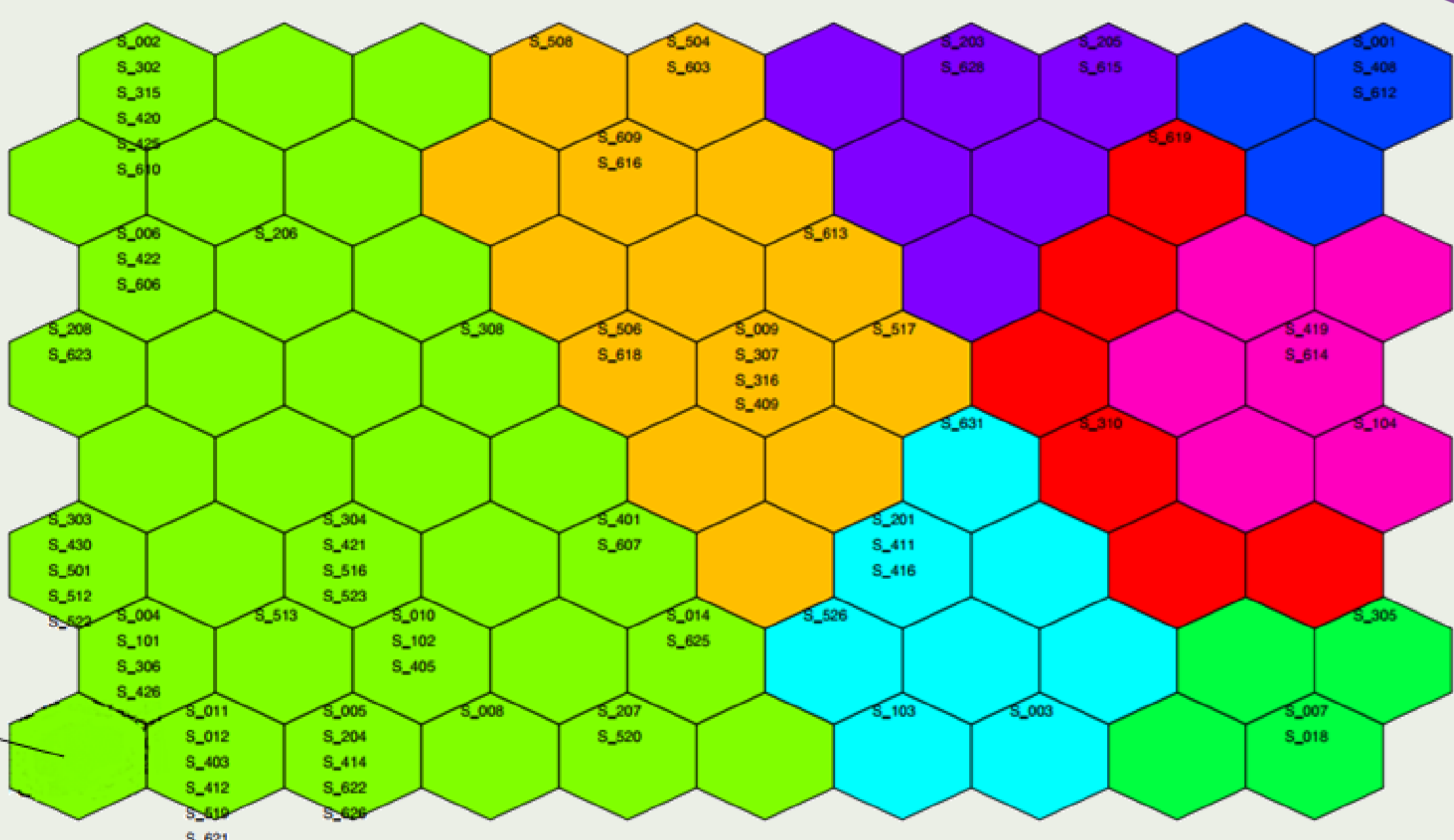
**Niveaux et profil moléculaire type**

## Echelle globale – Sédiment Cartes de Kohonen

- Carte de Kohonen (analyse multivariée non-linéaire)
- Stations proches (niveaux & profil) regroupées par clusters
- Cluster bleu: PFOS élevé (pression urbaine)
- Cluster rose: carboxylates élevés (pression industrielle)

**PFOS**

**PFTDA**



**Outils statistiques avancés :**  
 prise en compte  
 des valeurs inférieures  
 aux limites de détection

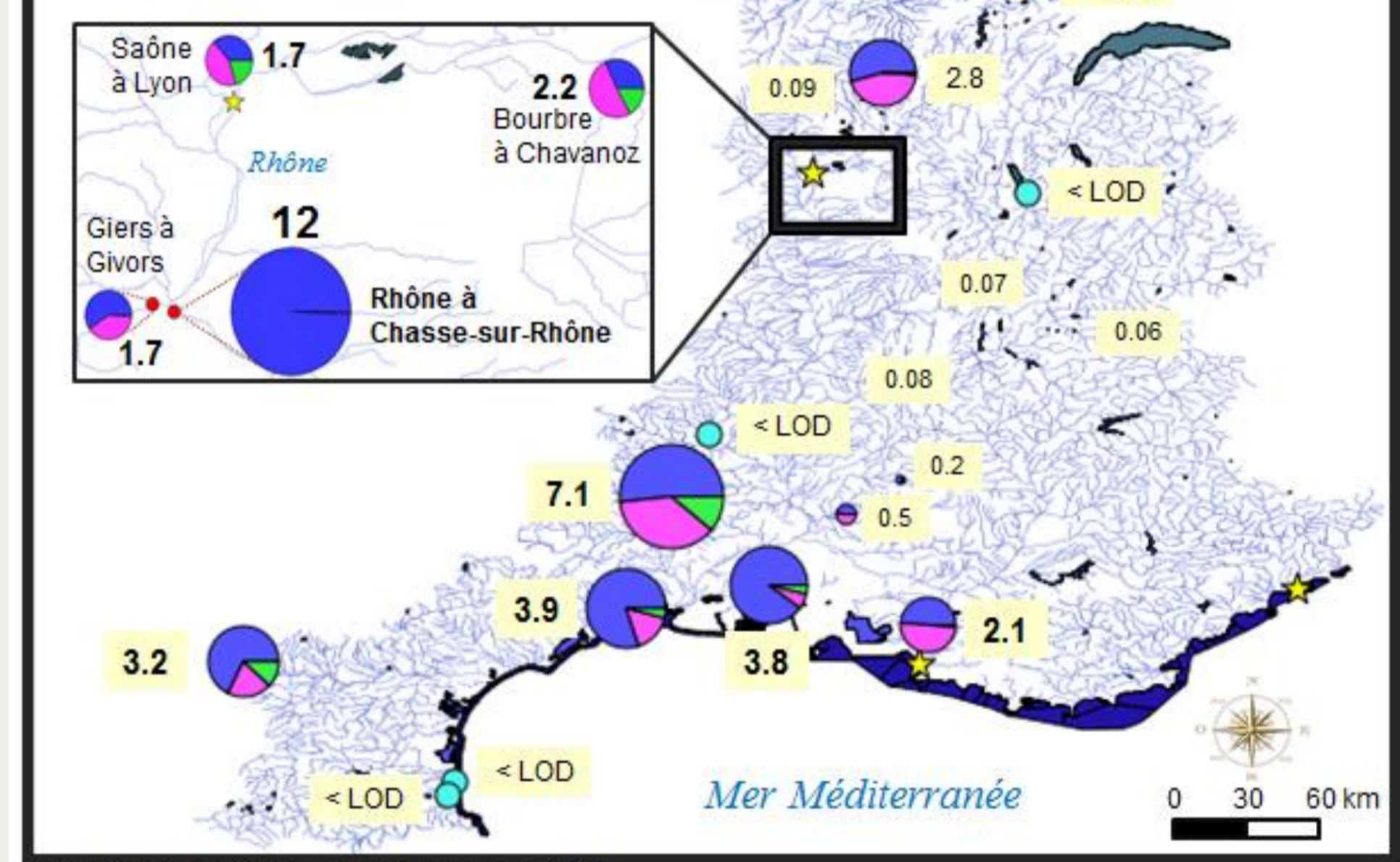
### Bassin du Rhône

- Profils atypiques
- Axe fluvial du Rhône à l'aval de Lyon :
- Carboxylates >99% ΣPFAS
- Source industrielle

## ΣPFAS dans le sédiment

(ng g<sup>-1</sup> poids sec)

Bleu = Perfluoroalkyl carboxylates  
 Rose = Perfluoroalkyl sulfonates  
 Vert = FOSA et autres\*

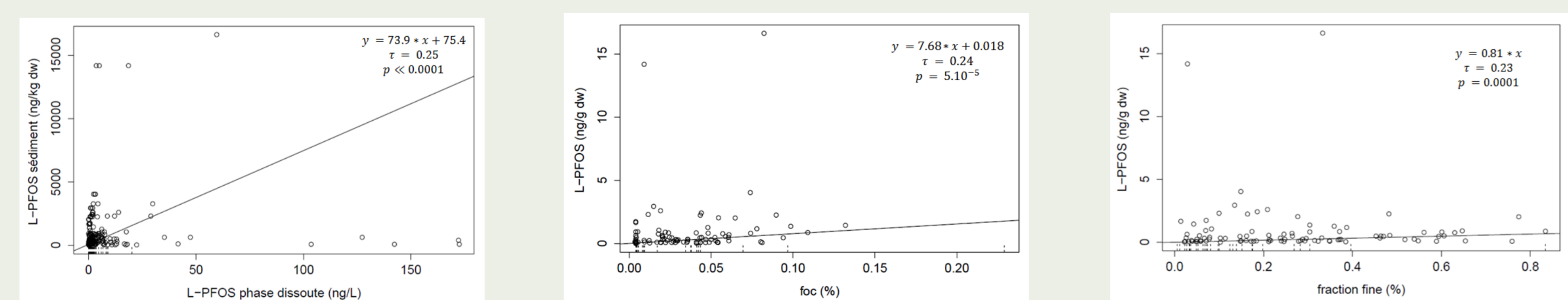


\*MeFOSA, EtFOSA, MeFOSAA, EtFOSAA

**Echelle locale – Sédiment  
 Approche SIG**

## Déterminants de l'accumulation sédimentaire des PFAS

### Facteurs de contrôle des niveaux de PFAS dans le sédiment



Niveaux en phase dissoute    Teneur en carbone organique    Granulométrie du sédiment

### Régression multiple / Prise en compte des valeurs < Limites de détection

→ Package NADA sous R

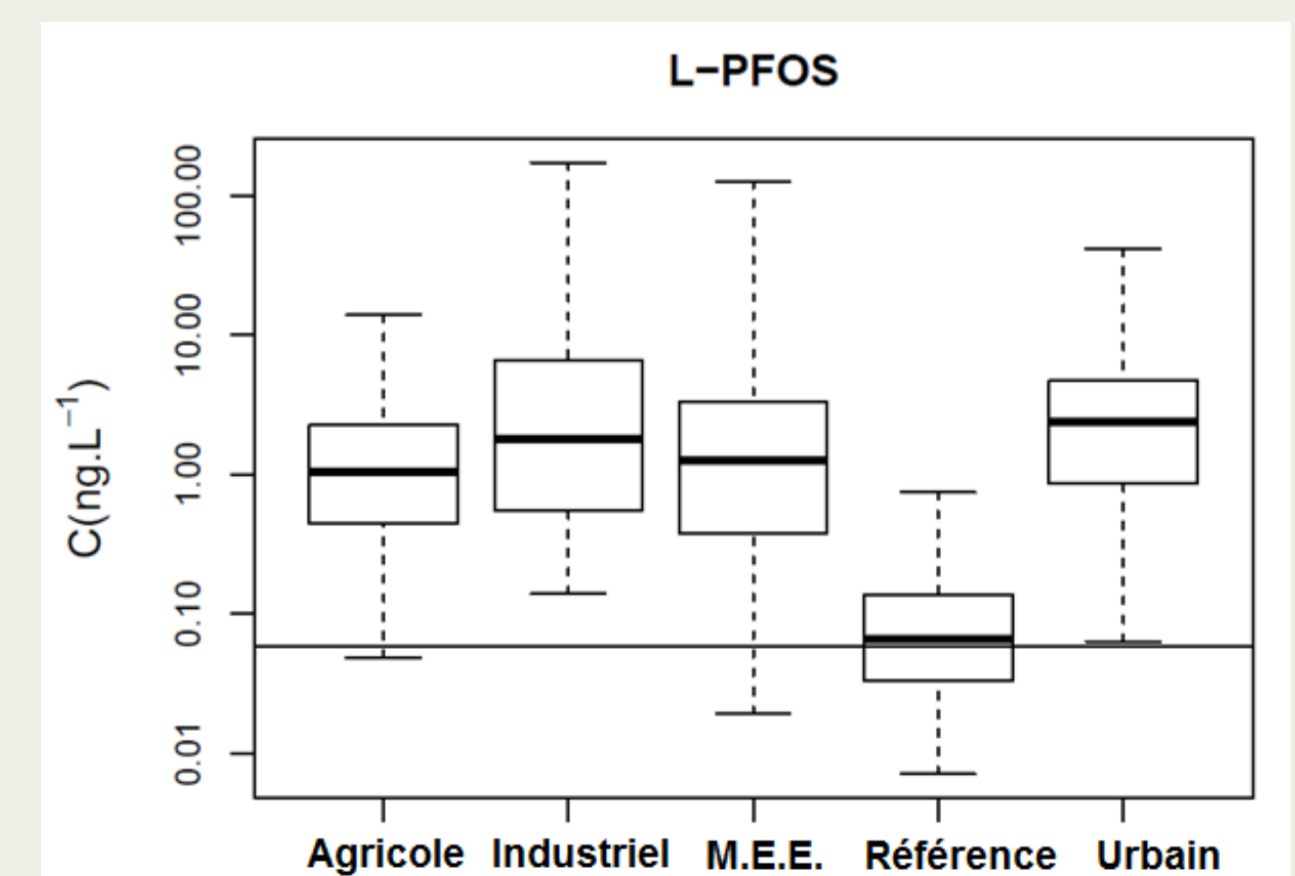
Station	Variables centrées réduites			1+Y	PFOS_sed_Cen
	F <sub>OC</sub> = X <sub>1</sub>	Fines = X <sub>2</sub>	PFOS <sub>diss</sub> = X <sub>3</sub>		
PE_001	1.54	0.50	2.87	17.61	FALSE
PE_002	3.08	-0.95	-0.16	2.45	FALSE
PE_003	0.48	0.63	0.05	2.27	FALSE
PE_004	0.30	-0.80	-0.26	1.00	TRUE
PE_005	0.63	0.71	-0.26	1.22	FALSE
PE_006	1.99	-0.29	-0.27	1.00	TRUE
PE_007	-0.32	2.07	-0.15	1.91	FALSE

→ **Fonction cenreg**  
 $\ln(1+Y) = \alpha + \beta * X_1 + \gamma * X_2 + \delta * X_3$

- Modèle significatif (p<0.001) pour PFOS, PFDA et FOSA
- Poids des coefficients du modèle variable selon le composé

### ❖ Contaminants ubiquistes

❖ Niveaux de PFAS significativement plus faibles pour les stations de référence



### ❖ Points chauds de contamination :

- zones urbaines = prédominance des sulfonates
- exception: Rhône à Chasse-sur-Rhône (Lyon), lien avec activité industrielle

❖ Prédominance du 6:2 FTSA pour deux stations sous influence industrielle

### ❖ Perspectives moyen terme:

recherche de suspects par spectrométrie de masse haute résolution

**Conclusions  
 et perspectives**